

FIGURA 6 - Vista lateral do antebraço esquerdo: 1. tubérculo dorsal do rádio; conjunto de tendões dos músculos abductor longo e extensor curto do polegar; conjunto de tendões dos músculos extensores radiais do carpo; 4. veia cefálica; 5. ramo superficial do nervo radial (RSNR); 6. ramo lateral do RSNR; 7. ramo medial do RSNR; 8. ramo medial do medial do RSNR (ramo nervoso de maior espessura); 8a, 8b ramos dorsais do ramo medial do RSNR; 9. ramo lateral do medial do RSNR.

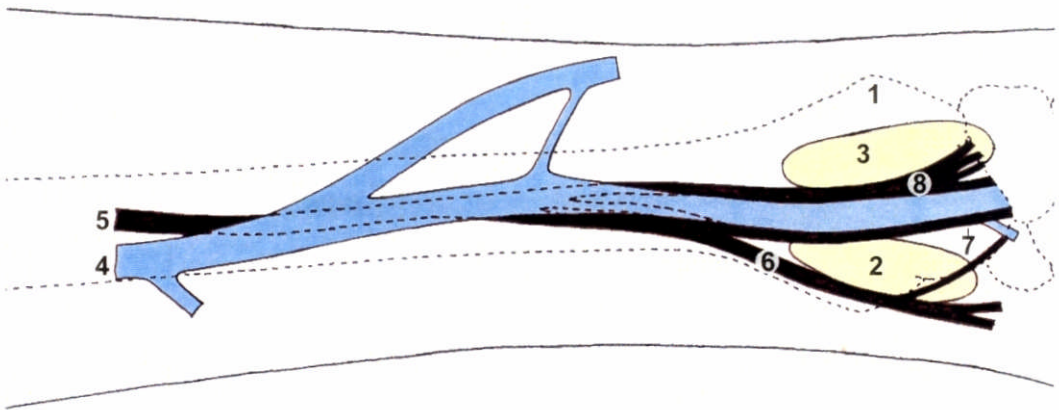
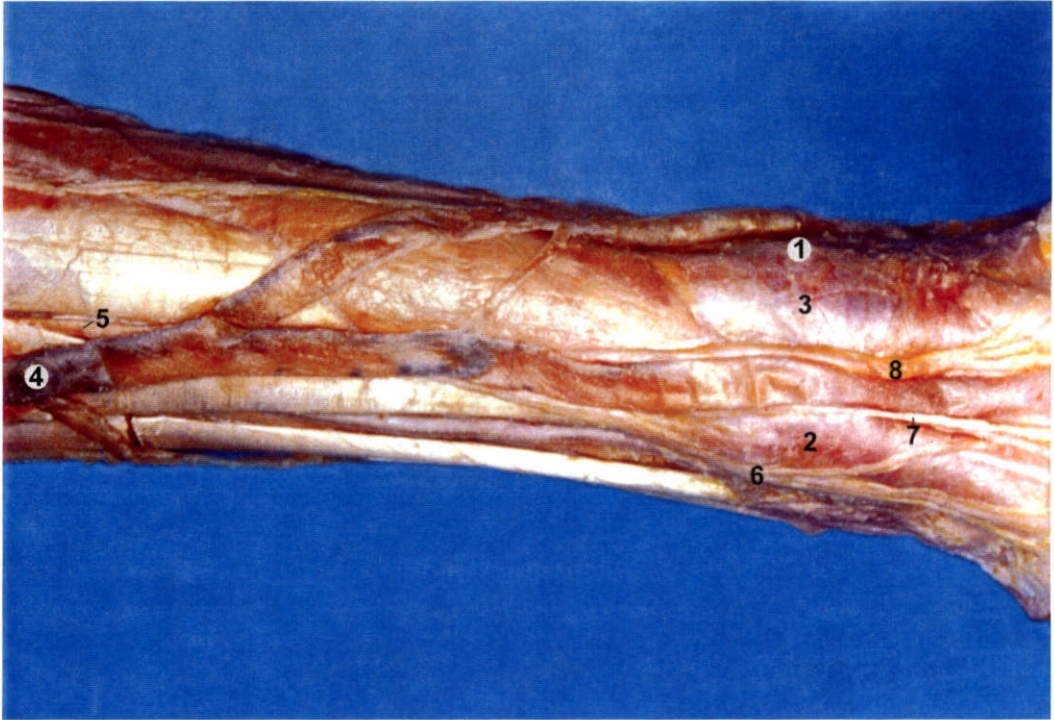


FIGURA 7 - Vista lateral do antebraço esquerdo: 1. tubérculo dorsal do rádio; 2. conjunto de tendões dos músculos abductor longo e extensor curto do polegar; 3. conjunto de tendões dos músculos extensores radiais do carpo; 4. veia cefálica; 5. ramo superficial do nervo radial (RSNR); 6. ramo lateral do RSNR; 7. ramo intermediário do RSNR; 8. ramo medial do RSNR (ramo nervoso de maior espessura).

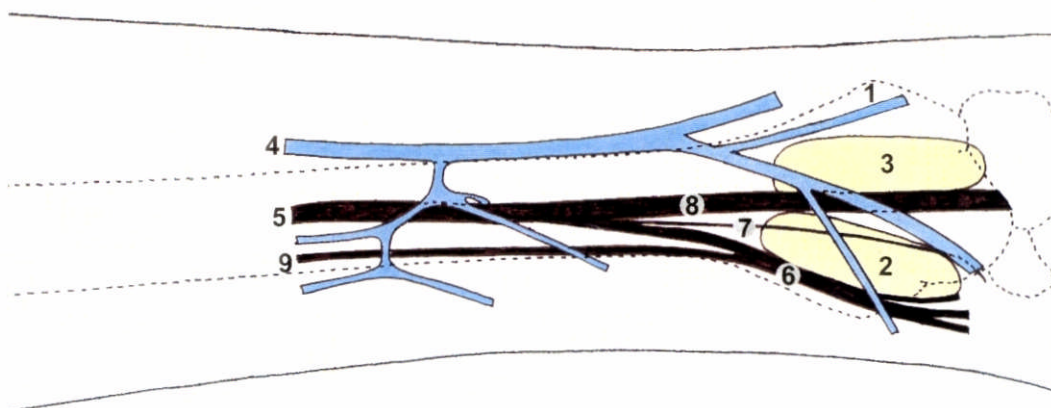
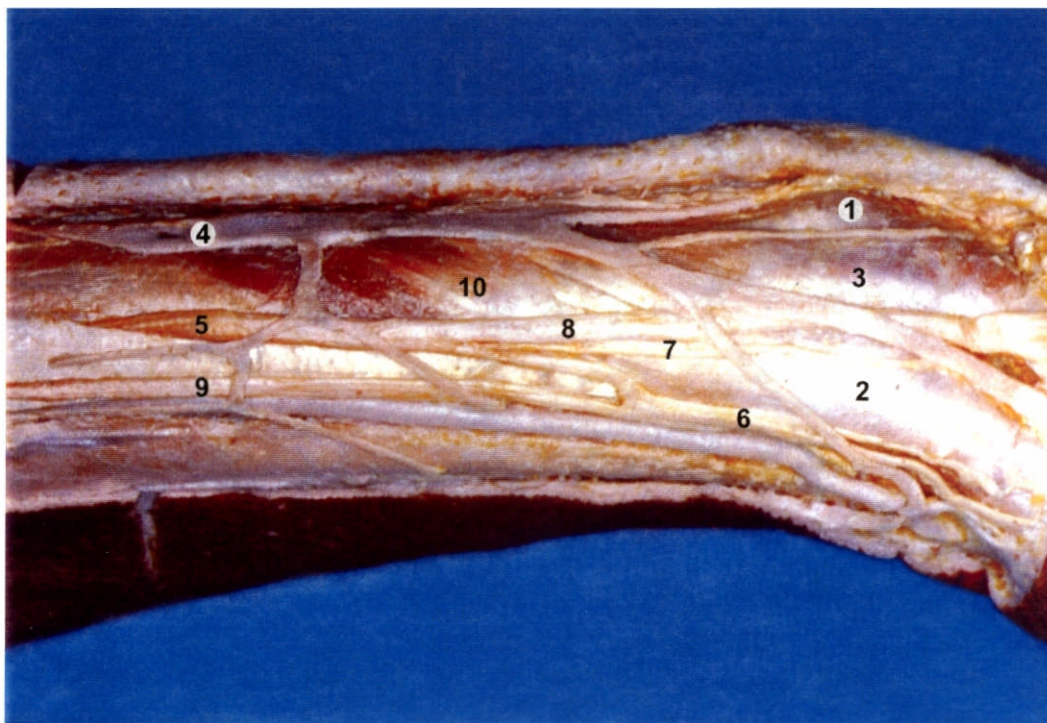


FIGURA 8 - Vista lateral do antebraço esquerdo: 1. tubérculo dorsal do rádio; 2. conjunto de tendões dos músculos abductor longo e extensor curto do polegar; 3. conjunto de tendões dos músculos extensores radiais do carpo; 4. veia cefálica; 5. ramo superficial do nervo radial (RSNR); 6. ramo lateral do RSNR; 7. ramo intermediário do RSNR; 8. ramo medial do RSNR (ramo nervoso de maior espessura); 9. ramo cutâneo lateral do antebraço (nervo musculocutâneo); 10. músculos abductor longo e extensor curto do polegar.

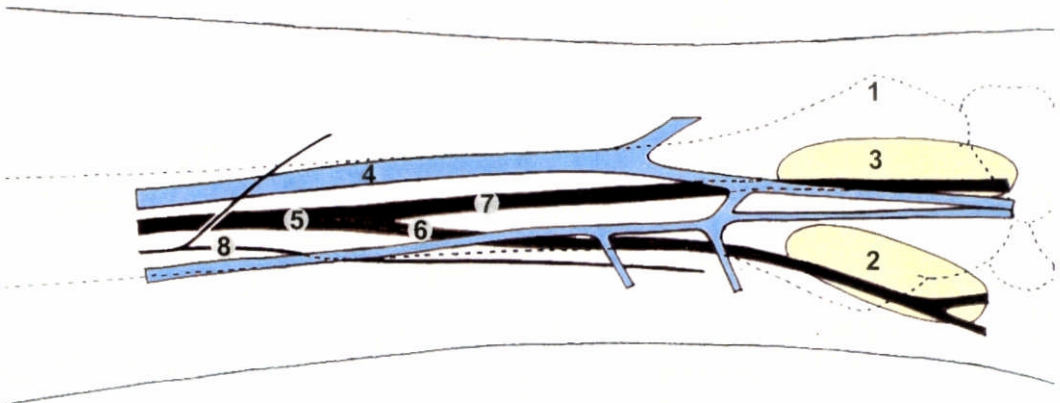
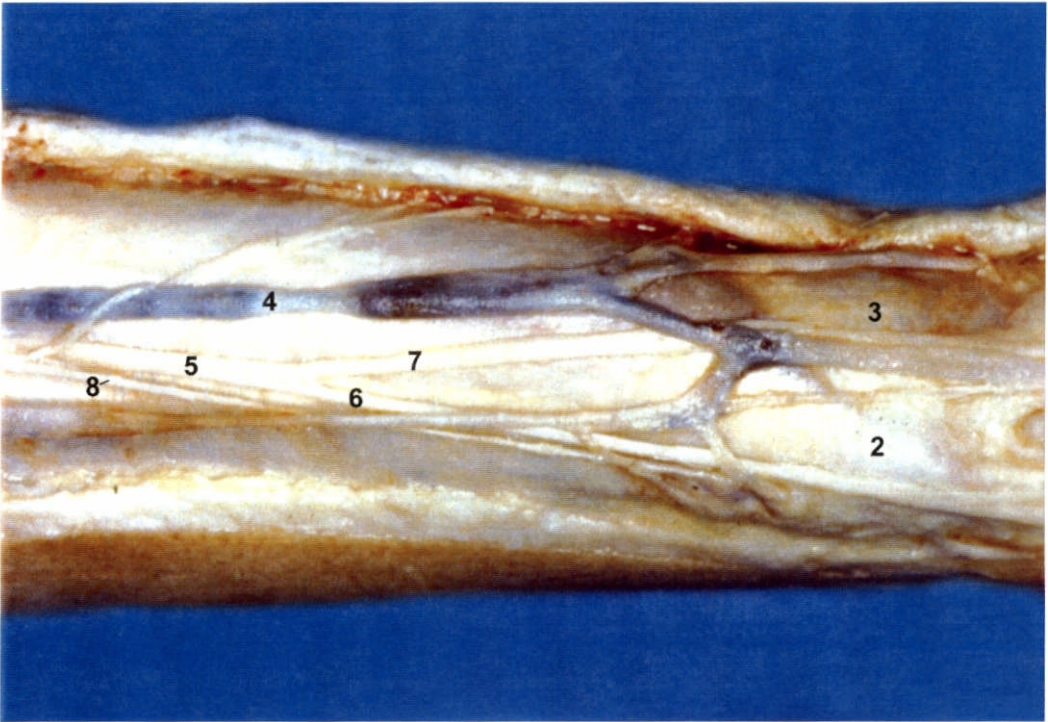


FIGURA 9 - Vista lateral do antebraço esquerdo: 1. tubérculo dorsal do rádio; 2. conjunto de tendões dos músculos abductor longo e extensor curto do polegar; 3. conjunto de tendões dos músculos extensores radiais do carpo; 4. veia cefáli; 5. ramo superficial do nervo radial (RSNR); 6. ramo lateral do RSNR; 7. ramo medial do RSNR (ramo nervoso de maior espessura); 8. ramo cutâneo lateral do antebraço (nervo musculocutâneo).

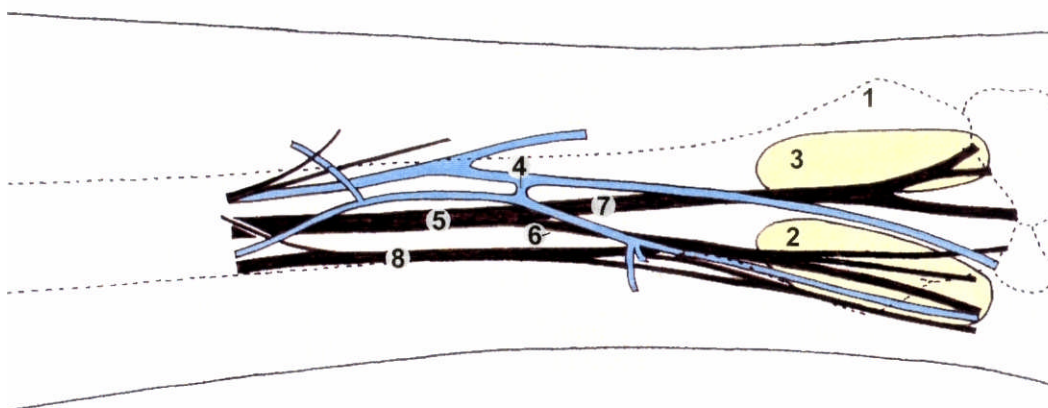
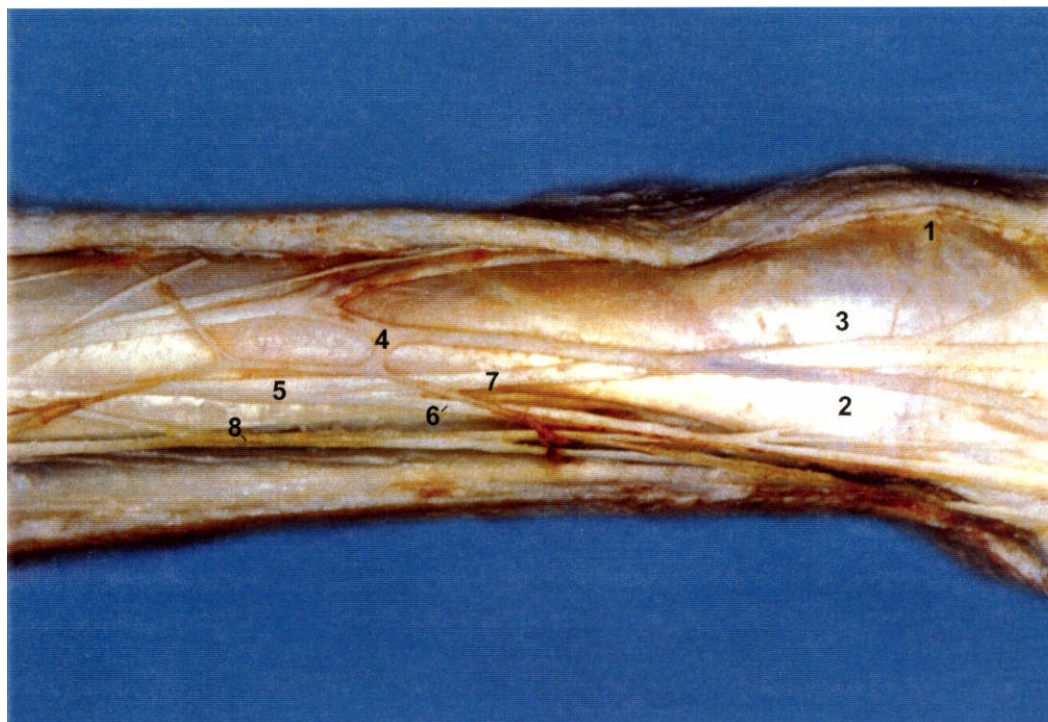


FIGURA 10 - Vista lateral do antebraço esquerdo: 1. tubérculo dorsal do rádio; 2. conjunto de tendões dos músculos abductor longo e extensor curto do polegar; 3. conjunto de tendões dos músculos extensores radiais do carpo; 4. veia cefálica; 5. ramo superficial do nervo radial (RSNR); 6. ramo lateral do RSNR; 7. ramo medial do RSNR (ramo nervoso de maior espessura); 8. ramo cutâneo lateral do antebraço (nervo musculocutâneo).

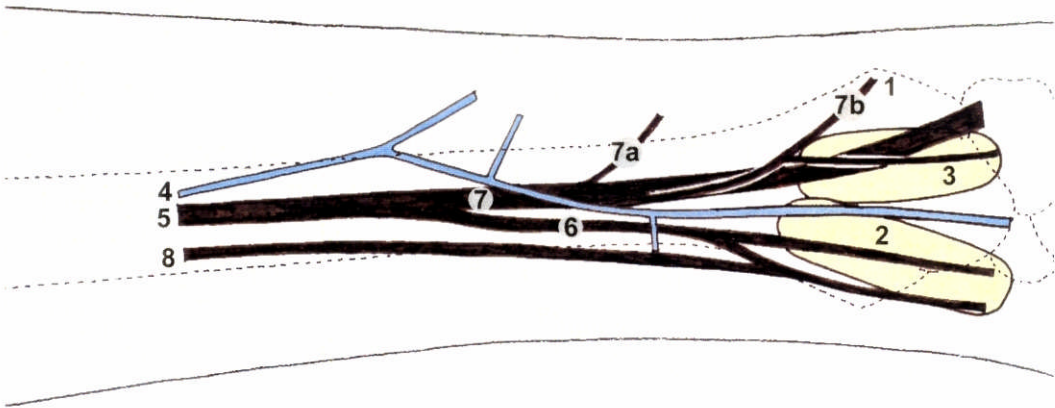
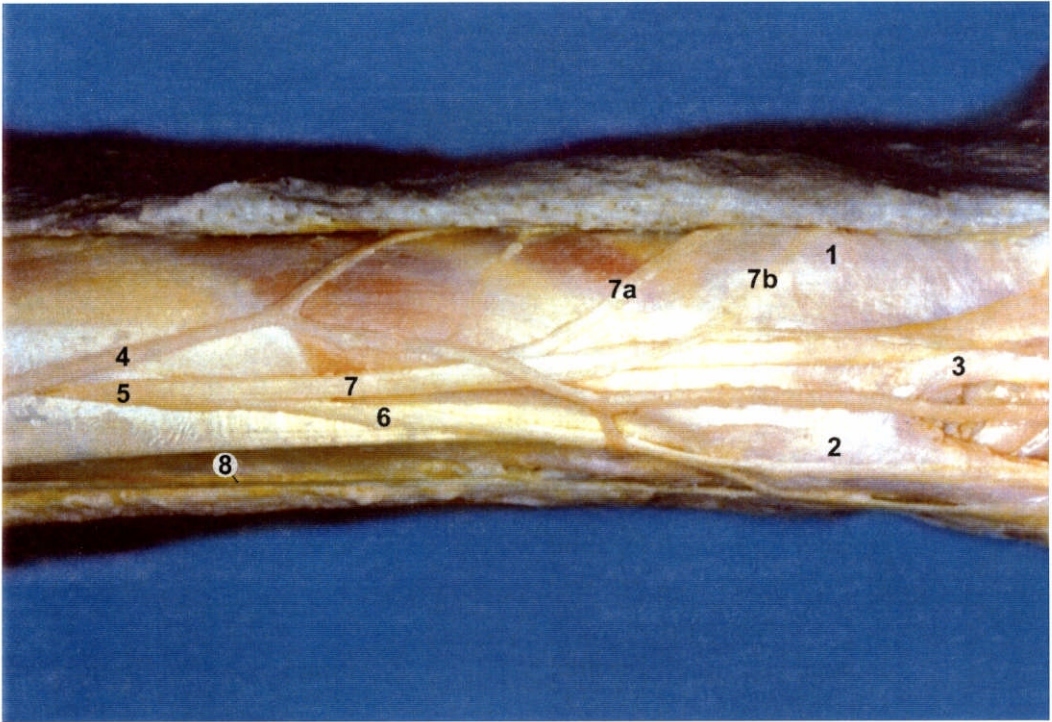


FIGURA 11 - Vista lateral do antebraço esquerdo: 1. tubérculo dorsal do rádio; 2. conjunto de tendões dos músculos abductor longo e extensor curto do polegar; 3. conjunto de tendões dos músculos extensores radiais do carpo; 4. veia cefálica; 5. ramo superficial do nervo radial (RSNR); 6. ramo lateral do RSNR; 7. ramo medial do RSNR (ramo nervoso de maior espessura); 7a, 7b ramos dorsais do ramo medial do RSNR; 8 ramo cutâneo lateral do antebraço (nervo musculocutâneo).

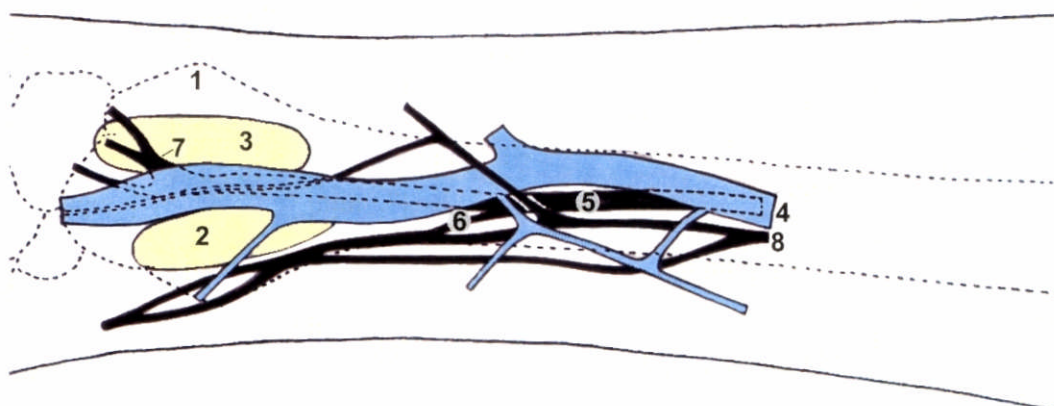


FIGURA 12.1 - Vista lateral do antebraço direito: 1. tubérculo dorsal do rádio; 2. conjunto de tendões dos músculos abductor longo e extensor curto do polegar; 3. conjunto de tendões dos músculos extensores radiais do carpo; 4. veia cefálica; 5. ramo superficial do nervo radial (RSNR); 6. ramo lateral do RSNR; 7. ramo medial do RSNR (ramo nervoso de maior espessura); 8. ramo cutâneo lateral do antebraço (nervo musculocutâneo).

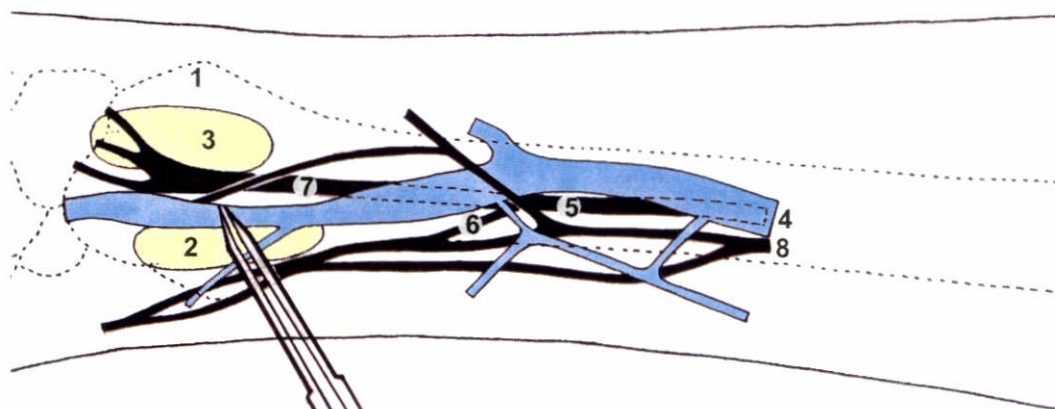
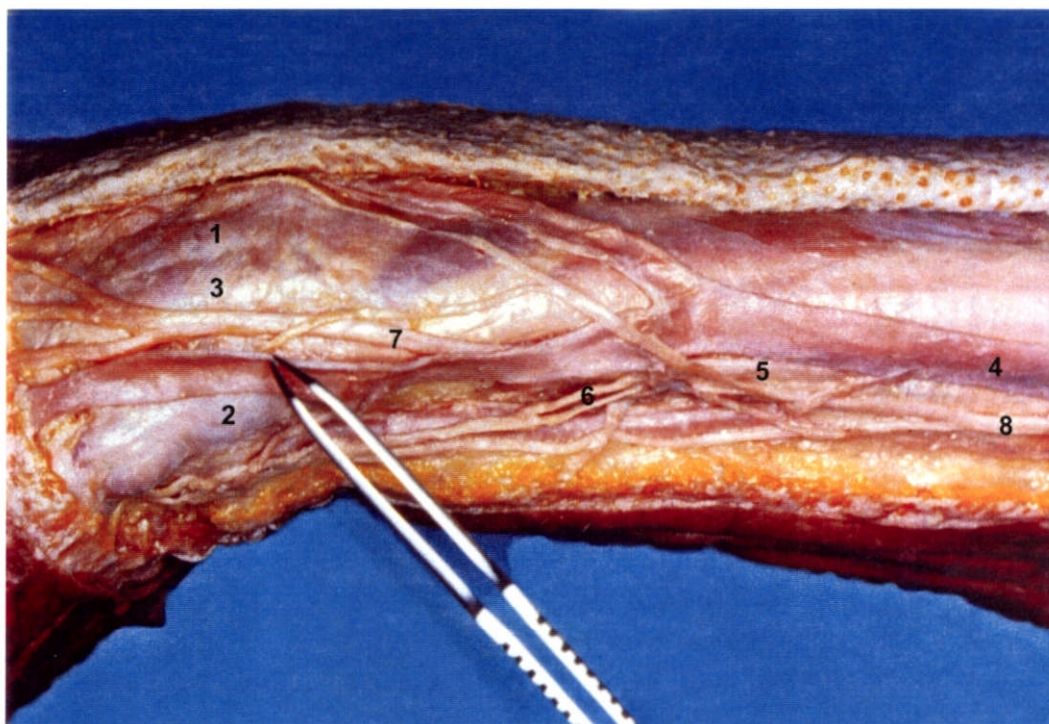


FIGURA 12.2 - Vista lateral do antebraço direito: 1. tubérculo dorsal do rádio; 2. conjunto de tendões dos músculos abductor longo e extensor curto do polegar; 3. conjunto de tendões dos músculos extensores radiais do carpo; 4. veia cefálica; 5. ramo superficial do nervo radial (RSNR); 6. ramo lateral do RSNR; 7. ramo medial do RSNR (ramo nervoso de maior espessura); 8. ramo cutâneo lateral do antebraço (nervo musculocutâneo).

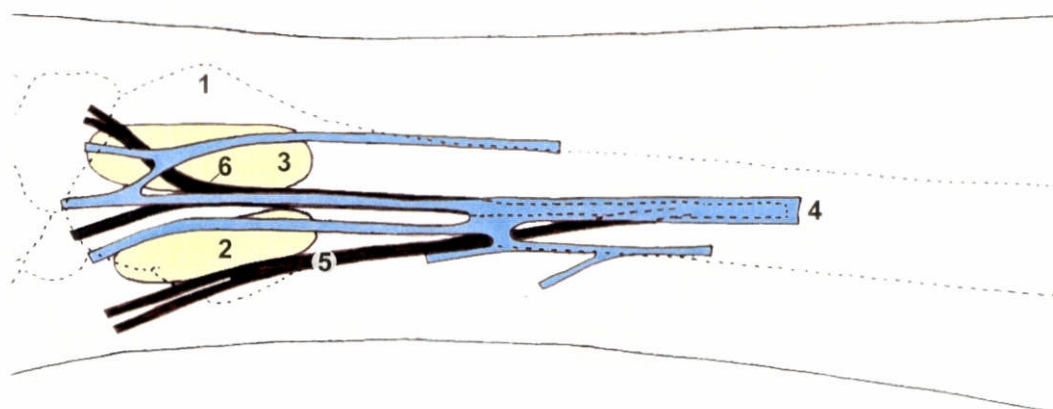


FIGURA 13 - Vista lateral do antebraço direito: 1. tubérculo dorsal do rádio; 2. conjunto de tendões dos músculos abductor longo e extensor curto do polegar; 3. conjunto de tendões dos músculos extensores radiais do carpo; 4. veia cefálica; 5. ramo lateral do ramo superficial do nervo radial; 6. ramo medial do ramo superficial do nervo radial (ramo nervoso de maior espessura).

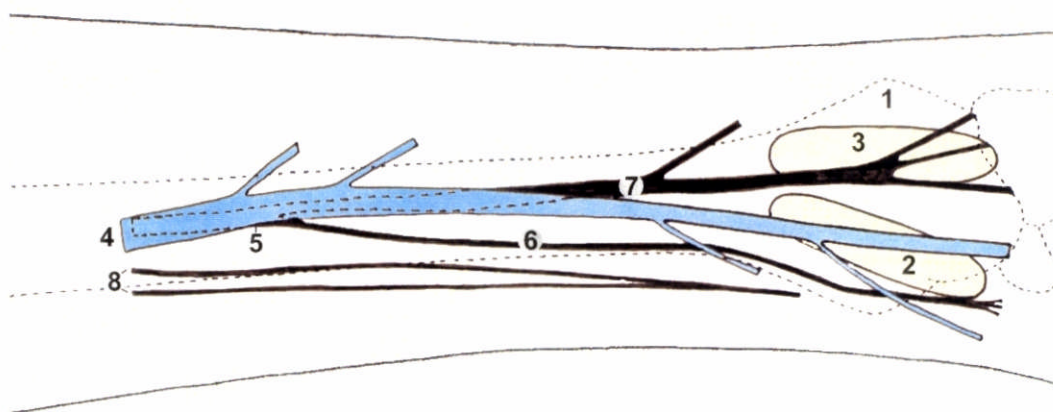
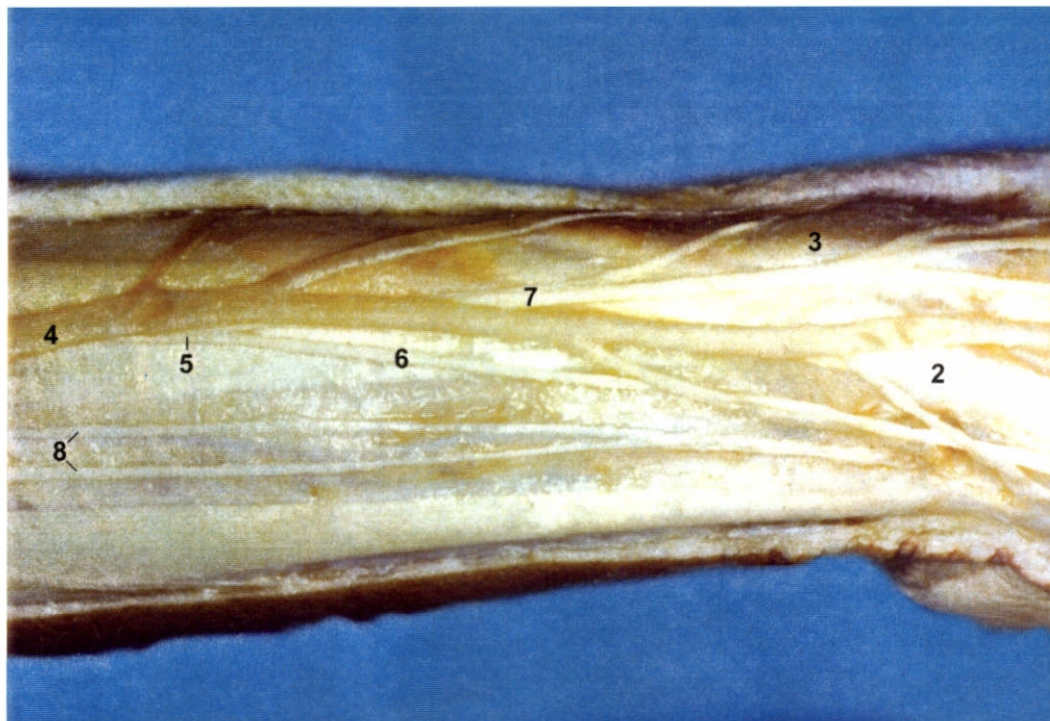


FIGURA 14 - Vista lateral do antebraço esquerdo: 1. tubérculo dorsal do rádio; 2. conjunto de tendões dos músculos abductor longo e extensor curto do polegar; 3. conjunto de tendões dos músculos extensores radiais do carpo; 4. veia cefálica; 5. ramo superficial do nervo radial (RSNR); 6. ramo lateral do RSNR; 7. ramo medial do RSNR (ramo nervoso de maior espessura); 8. ramo cutâneo lateral do antebraço (nervo musculocutâneo).

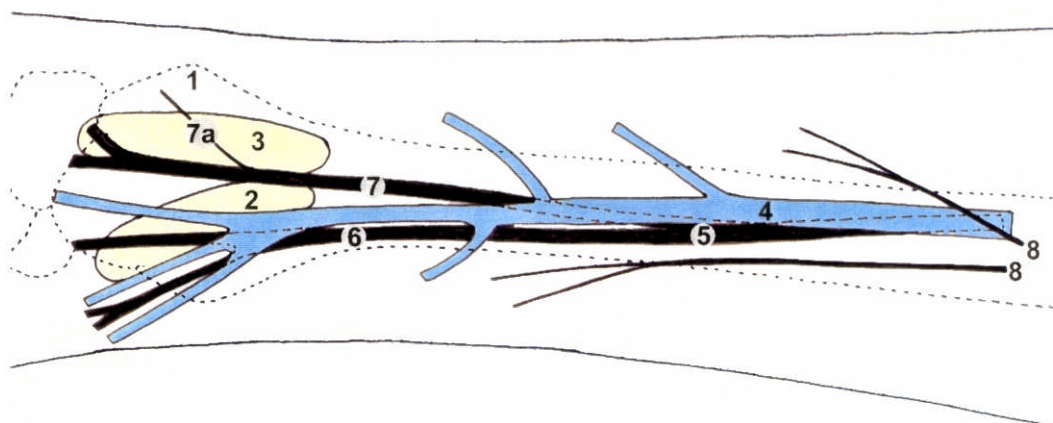
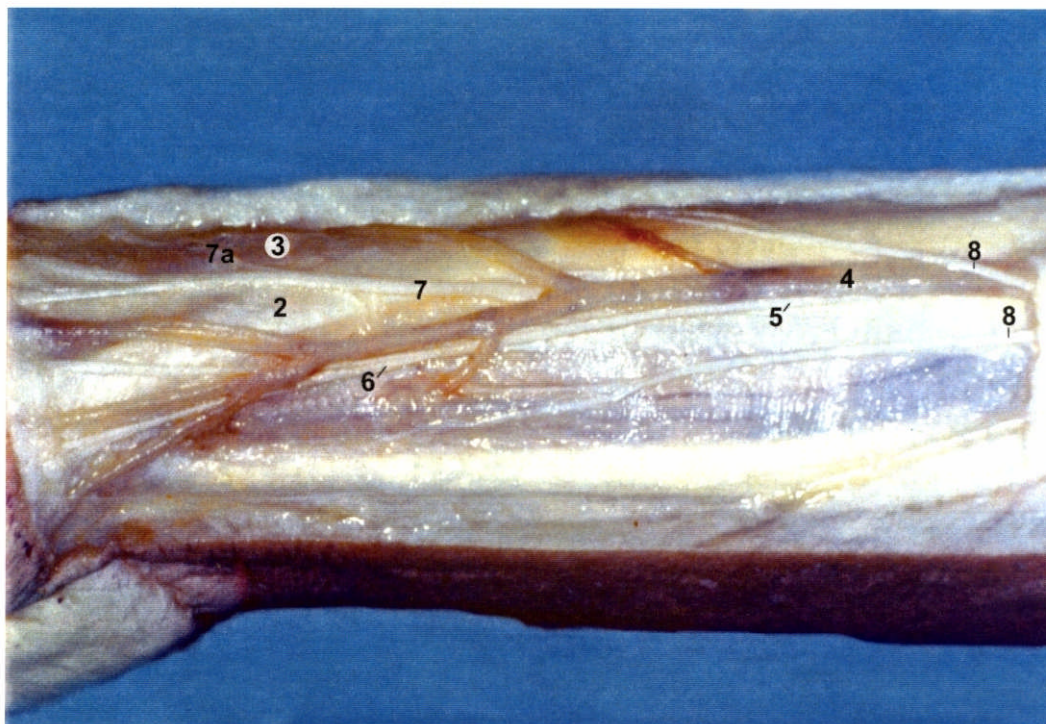


FIGURA 15 - Vista lateral do antebraço direito: 1. tubérculo dorsal do rádio; 2. conjunto de tendões dos músculos abductor longo e extensor curto do polegar; 3. conjunto de tendões dos músculos extensores radiais do carpo; 4. veia cefálica; 5. ramo superficial do nervo radial (RSNR); 6. ramo lateral do RSNR; 7. ramo medial do RSNR (ramo nervoso de maior espessura); 7a. ramo dorsal do ramo medial do RSNR; 8. ramo cutâneo lateral do antebraço (nervo musculocutâneo)

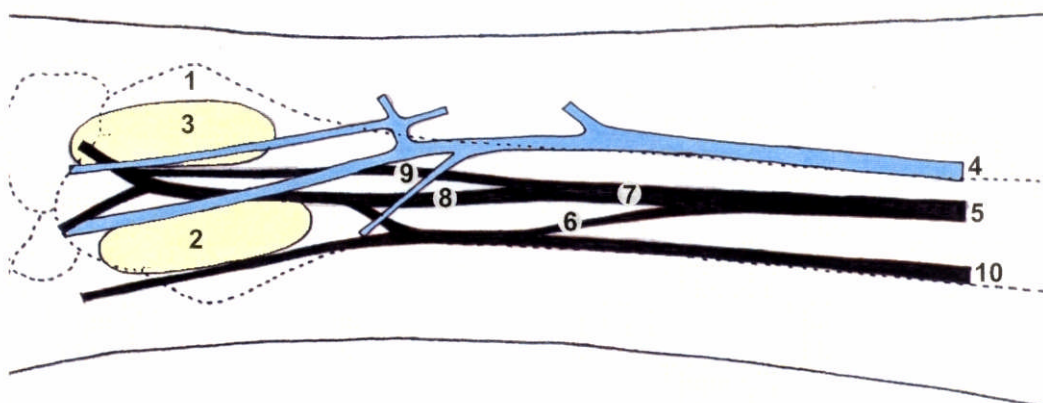
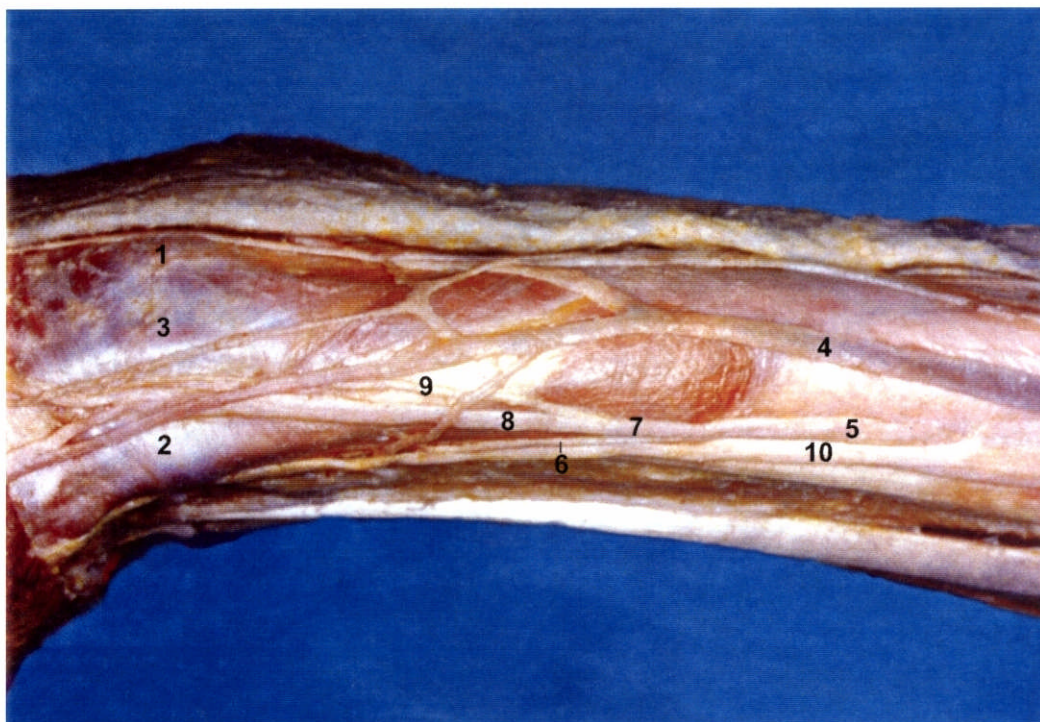


FIGURA 16 - Vista lateral do antebraço direito: 1. tubérculo dorsal do rádio; 2. conjunto de tendões dos músculos abductor longo e extensor curto do polegar; 3. conjunto de tendões dos músculos extensores radiais do carpo; 4. veia cefálica; 5. ramo superficial do nervo radial (RSNR); 6. ramo lateral do RSNR; 7. ramo medial do RSNR; 8. ramo lateral do medial do RSNR (ramo nervoso de maior espessura); 9. ramo medial do medial (RSNR); 10. ramo cutâneo lateral do antebraço (nervo musculocutâneo).

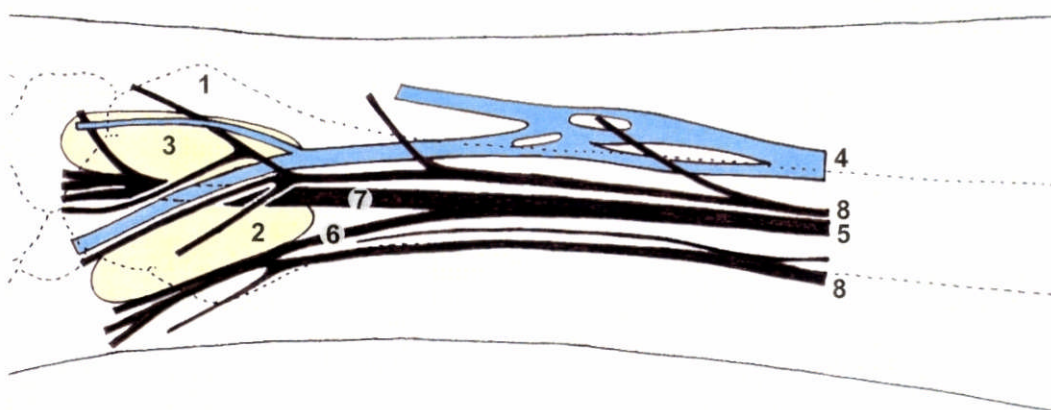


FIGURA 17 - Vista lateral do antebraço direito: 1. tubérculo dorsal do rádio; 2. conjunto de tendões dos músculos abductor longo e extensor curto do polegar; 3. conjunto de tendões dos músculos extensores radiais do carpo; 4. veia cefálica; 5. ramo superficial do nervo radial (RSNR); 6. ramo lateral do RSNR; 7. ramo medial do RSNR (ramo nervoso de maior espessura); 8. ramo cutâneo lateral do antebraço (nervo musculocutâneo)

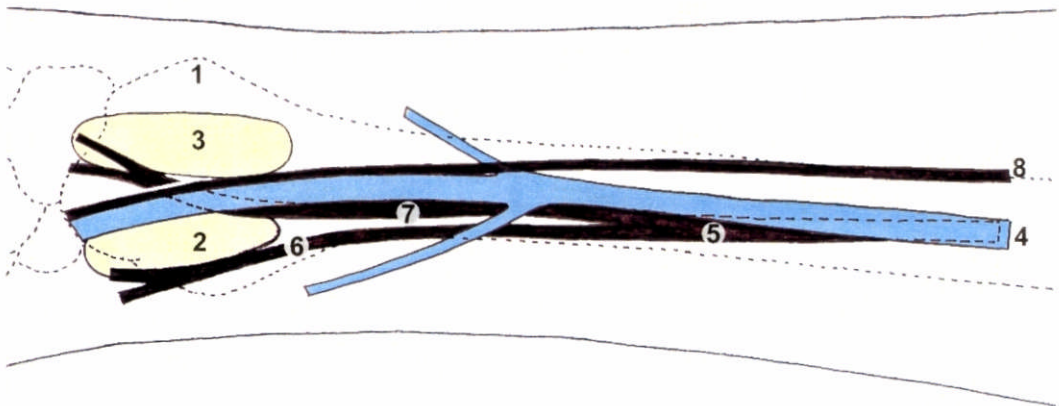


FIGURA 18 - Vista lateral do antebraço direito: 1. tubérculo dorsal do rádio; 2. conjunto de tendões dos músculos abductor longo e extensor curto do polegar; 3. conjunto de tendões dos músculos extensores radiais do carpo; 4. veia cefálica; 5. ramo superficial do nervo radial (RSNR); 6. ramo lateral do RSNR; 7. ramo medial do RSNR (ramo nervoso de maior espessura); 8. ramo cutâneo lateral do antebraço (nervo musculocutâneo).

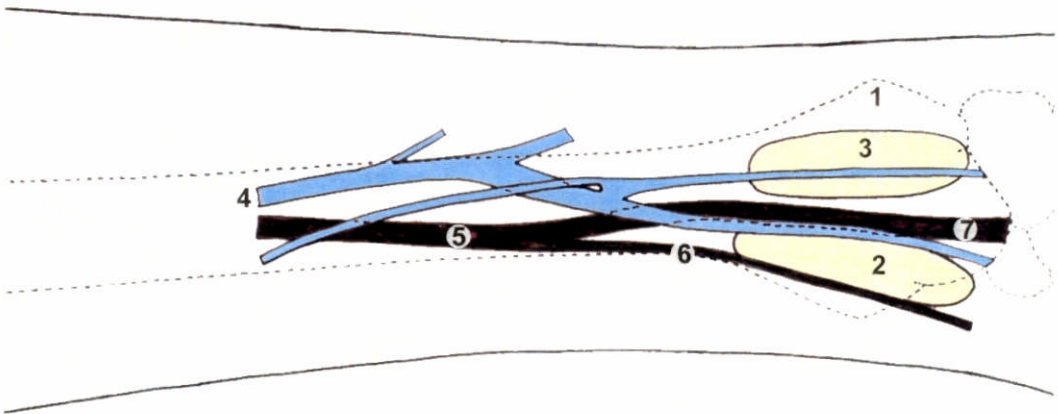
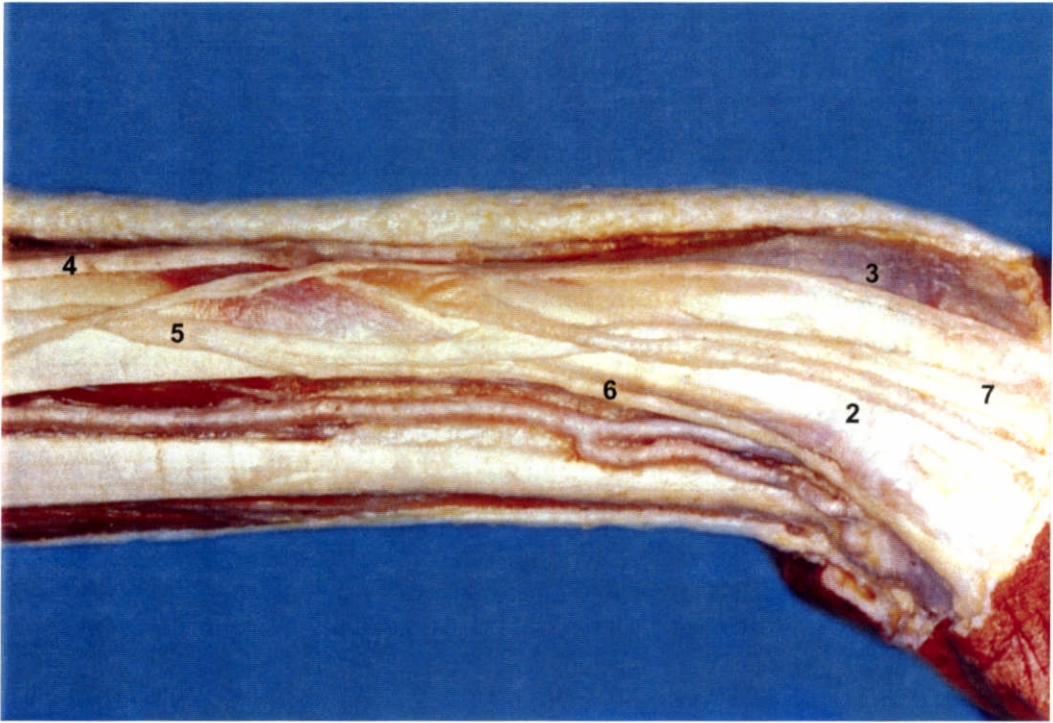


FIGURA 19 - Vista lateral do antebraço esquerdo: 1. tubérculo dorsal do rádio; 2. conjunto de tendões dos músculos abductor longo e extensor curto do polegar; 3. conjunto de tendões dos músculos extensores radiais do carpo; 4. veia cefálica; 5. ramo superficial do nervo radial (RSNR); 6. ramo lateral do RSNR; 7. ramo medial do RSNR (ramo nervoso de maior espessura).

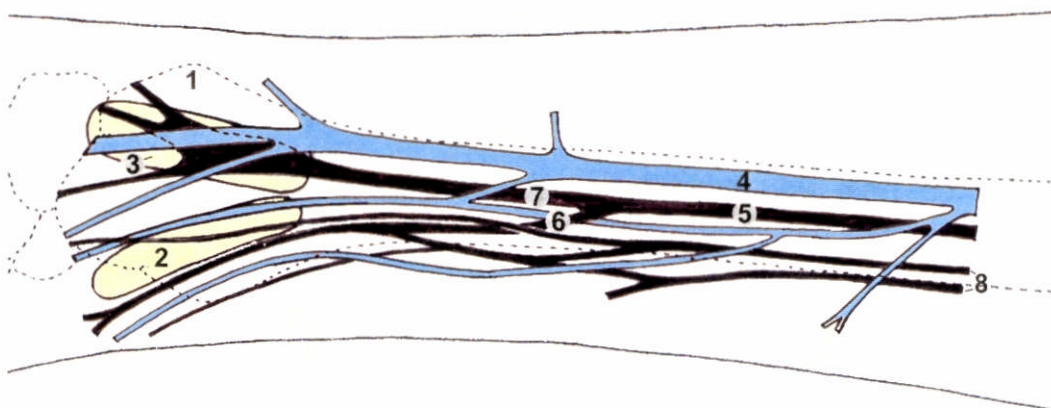


FIGURA 20 - Vista lateral do antebraço direito: 1. tubérculo dorsal do rádio; 2. conjunto de tendões dos músculos abductor longo e extensor curto do polegar; 3. conjunto de tendões dos músculos extensores radiais do carpo; 4. veia cefálica; 5. ramo superficial do nervo radial (RSNR); 6. ramo lateral do RSNR; 7. ramo medial do RSNR (ramo nervoso de maior espessura); 8. ramo cutâneo lateral do antebraço (nervo musculocutâneo).

5.3. Anatomia Microscópica

Considerando-se que os ramos de maior espessura observados macroscopicamente originavam-se do RSNR, receberam a mesma denominação na microscopia.

No material submetido a tratamento histológico e a medidas ortogonais diretas, sob lupa, foram identificados os 22 (100,00%) ramos de maior espessura do RSNR, no total de 22 peças. Verifica-se, na tabela 13, que esses nervos apresentaram as seguintes médias e desvio padrão: $1,2 \pm 0,5$ mm (valor mínimo de 0,6 mm e valor máximo de 2,3 mm) de altura, $2,2 \pm 0,8$ mm (valor mínimo de 1,1 mm e valor máximo de 3,7 mm) de largura e $1,6 \pm 0,5$ mm (valor mínimo de 0,9 mm e valor máximo de 2,9 mm) de diâmetro geométrico médio.

5.3.1. Relação anatômica do ramo de maior espessura do RSNR com os conjuntos de tendões

No total de 22 (100%) casos, as relações anatômicas do ramo de maior espessura do RSNR, no plano subcutâneo, com os tendões da camada subaponeurótica foram agrupadas em:

5.3.1.1. Nervo sobre um conjunto de tendões

Em 9 (40,91%) casos, o nervo de maior espessura, superficial ao retináculo dos extensores, sobrepôs-se ao conjunto tendinoso: dos músculos abductor longo e extensor curto do polegar em 7 (31,82%) peças (fig. 21, 22) e, dos músculos extensores radiais do carpo, em 2 (9,09%) (fig. 23).

5.3.1.2. Nervo parcialmente sobre um conjunto de tendões

Em 7 (31,82%) casos, verificou-se que o nervo de maior espessura encontrava-se superficial ao retináculo dos extensores, parcialmente sobreposto a um dos conjuntos tendinosos: à margem medial do conjunto de tendões dos músculos abductor longo e extensor curto do polegar em 4 (18,18%) casos (fig. 24) e, à margem lateral dos tendões extensores radiais do carpo, em 3 (13,64%) (fig. 25, 26, 27).

5.3.1.3. Nervo entre dois conjuntos de tendões

Em 6 (27,27%) casos, o nervo de maior espessura localizava-se sobre o retináculo dos extensores, entre os conjuntos de tendões dos

músculos abductor longo e extensor curto do polegar, por lateral, e extensores radiais do carpo, por medial (fig. 28, 29, 30).

5.3.2. Relação anatômica das veias cefálicas próximas ao ramo de maior espessura do RSNR

Considerando-se que os ramos venosos observados macroscopicamente eram veias cefálicas, receberam na microscopia a mesma denominação.

Em 19 peças, foram observados 21 ramos venosos relacionados ao ramo de maior espessura do RSNR, sendo 20 próximos, à distância média de 1,2 mm (valor mínimo de 0,2 mm e valor máximo de 2,6 mm) e 1, sobreposto.

Foram obtidas medidas ortogonais diretas, em largura e altura, da luz de 18 ramos venosos; em 3, as medidas foram inviabilizadas devido à ruptura do material histológico. Observaram-se as seguintes médias e desvio padrão: $1,3 \pm 0,8$ mm (valor mínimo de 0,1 mm e valor máximo de 3,1 mm) em altura e $2,6 \pm 1,1$ mm (valor mínimo de 0,6 mm e valor máximo de 4,6 mm) em largura e $1,8 \pm 0,8$ mm (valor mínimo de 0,4 mm e valor máximo de 3,1 mm) de diâmetro geométrico médio.

A classificação dos ramos venosos, quanto ao calibre, resultou em 14 veias cefálicas de pequeno a médio calibre e 4 vênulas. As médias das medidas da luz das veias de pequeno a médio calibre e o desvio padrão foram de $1,6 \pm 0,7$ mm (valor mínimo de 0,9 mm e valor máximo de 3,1 mm) em altura, $3,0 \pm 0,9$ mm (valor mínimo de 1,5 mm e valor máximo de 4,6 mm) em largura e de $2,1 \pm 0,6$ mm (valor mínimo de 1,2 mm e valor máximo de 3,1 mm) de diâmetro geométrico médio, conforme se verifica na Tabela 13.

5.3.2.1. Localização das veias cefálicas em relação ao ramo de maior espessura do RSNR

As 17 veias cefálicas apresentaram as seguintes relações com o ramo de maior espessura do RSNR:

Dos 9 casos em que o nervo de maior espessura estava sobre os tendões, em 7 (31,82%) foram encontradas 8 veias próximas, sendo: 7 de pequeno a médio calibre e 1, com medida inviabilizada pela ruptura do material anatômico.

Quanto ao posicionamento, as veias encontravam-se mediais ao nervo em 3 (13,64%) peças, laterais ao nervo em 3 (13,64%) (fig. 22), e uma veia lateral e outra medial ao nervo, em 1 (4,54%) (fig. 21).

Em 4 (18,18%) das 7 peças em que o nervo de maior espessura se encontrava parcialmente sobre um conjunto de tendões, foram verificadas 4 veias próximas. Em 2 (9,09%) peças a veia localizava-se medial ao nervo e em 2 (9,09%), lateralmente (fig. 27).

Em 5 (22,73%) dos 6 casos em que o nervo de maior espessura encontrava-se entre dois conjuntos de tendões, foram verificadas 4 veias de pequeno a médio calibre e 1 com medida inviabilizada devido à ruptura do material anatômico.

Quanto à localização, as veias apresentaram-se laterais ao nervo em 4 (18,18%) peças (fig. 29, 30) e, sobre o nervo, em 1 (4,54%) (fig. 28).

Tabela 13 — Medidas ortogonais diretas, em altura e largura, dos 22 ramos de maior espessura do RSNR e da luz de veias cefálicas próximas aos nervos, sob lupa, e respectivas medidas dos diâmetros geométricos médios (Diâm. Geom. Médio) segundo os lados direito (D) e esquerdo (E)

Número do Caso	Nervos			Veias		
	Altura (mm)	Largura (mm)	Diâm. Geom. médio (mm)	Altura (mm)	Largura (mm)	Diâm. Geom. Médio (mm)
1D	1,1	3,3	1,9	1,0	3,2	1,8
1E	1,0	1,5	1,2	*	*	*
2D	2,3	3,7	2,9	1,4	2,2	1,8
2E	1,1	2,6	1,7	1,1	2,2	1,6
3D	0,9	1,6	1,2	1,3	3,9	2,3
3E	1,2	2,3	1,7	1,2	3,4	2,0
4D	0,9	1,5	1,2	***	***	***
4E	0,7	1,5	1,0	*	*	*
5D	2,2	2,6	2,4	0,9	1,5	1,2
5E	1,0	2,1	1,4	-	-	-
6D	0,6	1,3	0,9	-	-	-
6E	1,4	2,9	2,0	*	*	*
7D	0,8	1,2	1,0	-	-	-
7E	0,8	1,1	0,9	0,9	1,6	1,2
8D	1,3	3,3	2,1	2,1	4,6	3,1
8E	1,3	2,3	1,7	***	***	***
9D	1,8	3,0	2,3	***	***	***
9E	0,9	1,8	1,3	0,9	3,0	1,6
10D	1,8	1,5	1,6	1,5/2,1**	3,6/2,8**	2,3/2,4**
10E	1,0	1,4	1,2	1,4	3,9	2,3
11D	1,0	3,1	1,8	3,1	3,1	3,1
11E	1,1	2,7	1,7	*/2,8**	*/2,4**	*/2,6**
Média	1,2	2,2	1,6	1,6	3,0	2,1
Desvio Padrão	0,5	0,8	0,5	0,7	0,9	0,6
Valor Mínimo	0,6	1,1	0,9	0,9	1,5	1,2
Valor Máximo	2,3	3,7	2,9	3,1	4,6	3,1

* Vênula

** Duas veias

*** Medidas inviabilizadas



FIGURA 21 - Corte histológico transversal da região posterolateral da extremidade distal do antebraço direito, ao nível do tubérculo dorsal do rádio: 1. conjunto de tendões dos músculos abductor longo e extensor curto do polegar; 2. conjunto de tendões dos músculos extensores radiais do carpo; 3. ramo superficial do nervo radial (ramo nervoso de maior espessura); 4. veia cefálica. HE.

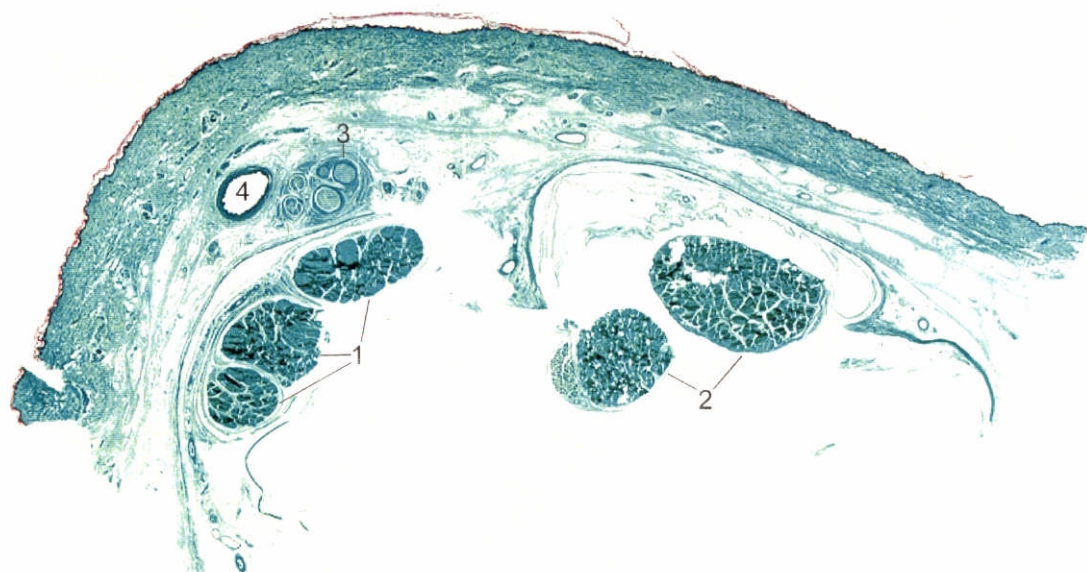


FIGURA 22 - Corte histológico transversal da região posterolateral da extremidade distal do antebraço direito, ao nível do tubérculo dorsal do rádio: 1. conjunto de tendões dos músculos abductor longo e extensor curto do polegar; 2. conjunto de tendões dos músculos extensores radiais do carpo; 3. ramo superficial do nervo radial (ramo nervoso de maior espessura); 4. veia cefálica. Tricrômico de Masson.

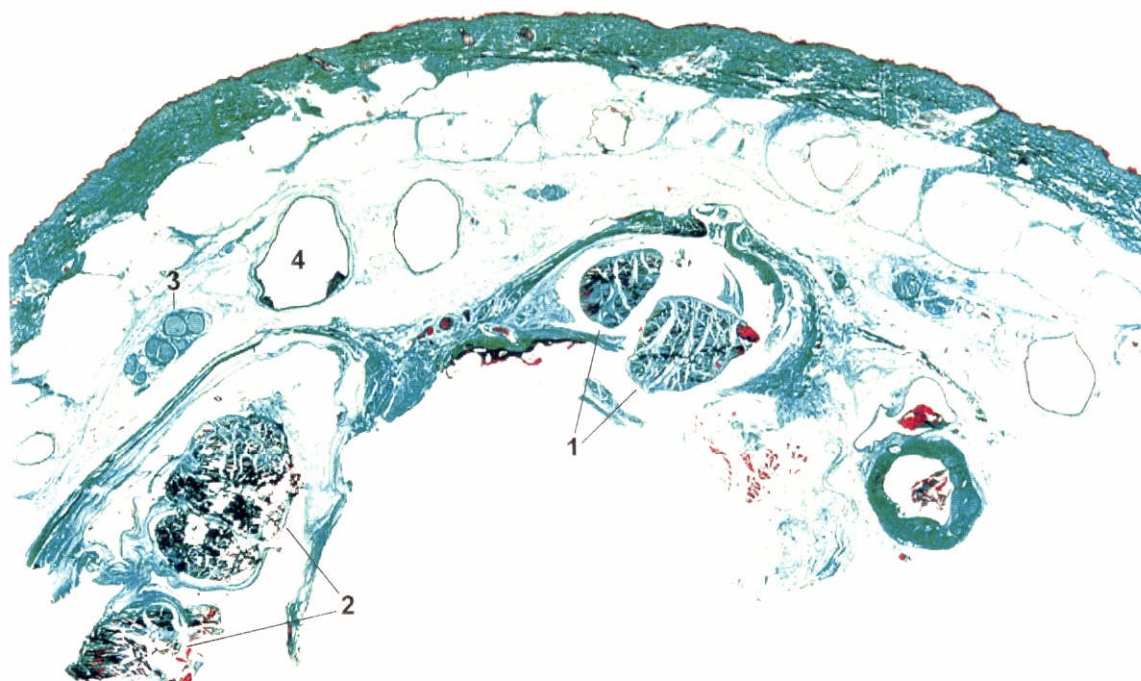


FIGURA 23 - Corte histológico transversal da região posterolateral da extremidade distal do antebraço esquerdo, ao nível do tubérculo dorsal do rádio: 1. conjunto de tendões dos músculos abductor longo e extensor curto do polegar; 2. conjunto de tendões dos músculos extensores radiais do carpo; 3. ramo superficial do nervo radial (ramo nervoso de maior espessura); 4. veia cefálica. Tricrômico de Masson.



FIGURA 24 - Corte histológico transversal da região posterolateral da extremidade distal do antebraço direito, ao nível do tubérculo dorsal do rádio: 1. conjunto de tendões dos músculos abductor longo e extensor curto do polegar; 2. conjunto de tendões dos músculos extensores radiais do carpo; 3. ramo superficial do nervo radial (ramo nervoso de maior espessura). HE.



FIGURA 25 - Corte histológico transversal da região posterolateral da extremidade distal do antebraço esquerdo, ao nível do tubérculo dorsal do rádio: 1. conjunto de tendões dos músculos abductor longo e extensor curto do polegar; 2. conjunto de tendões dos músculos extensores radiais do carpo; 3. ramo superficial do nervo radial (ramo nervoso de maior espessura). Tricrômico de Masson.

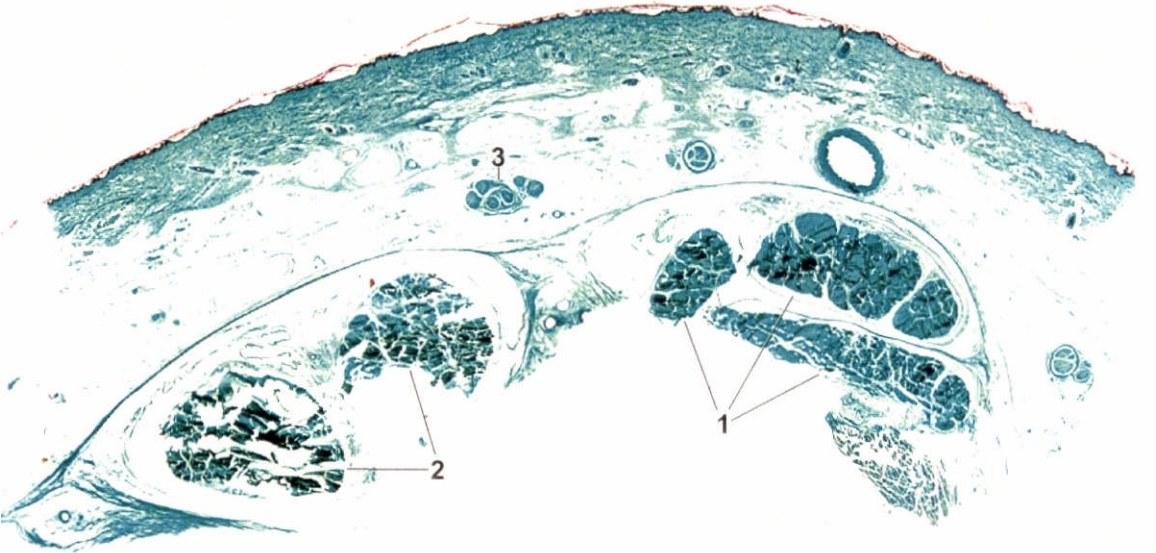


FIGURA 26 - Corte histológico transversal da região posterolateral da extremidade distal do antebraço esquerdo, ao nível do tubérculo dorsal do rádio: 1. conjunto de tendões dos músculos abductor longo e extensor curto do polegar; 2. conjunto de tendões dos músculos extensores radiais do carpo; 3. ramo superficial do nervo radial (ramo nervoso de maior espessura). Tricrômico de Masson.

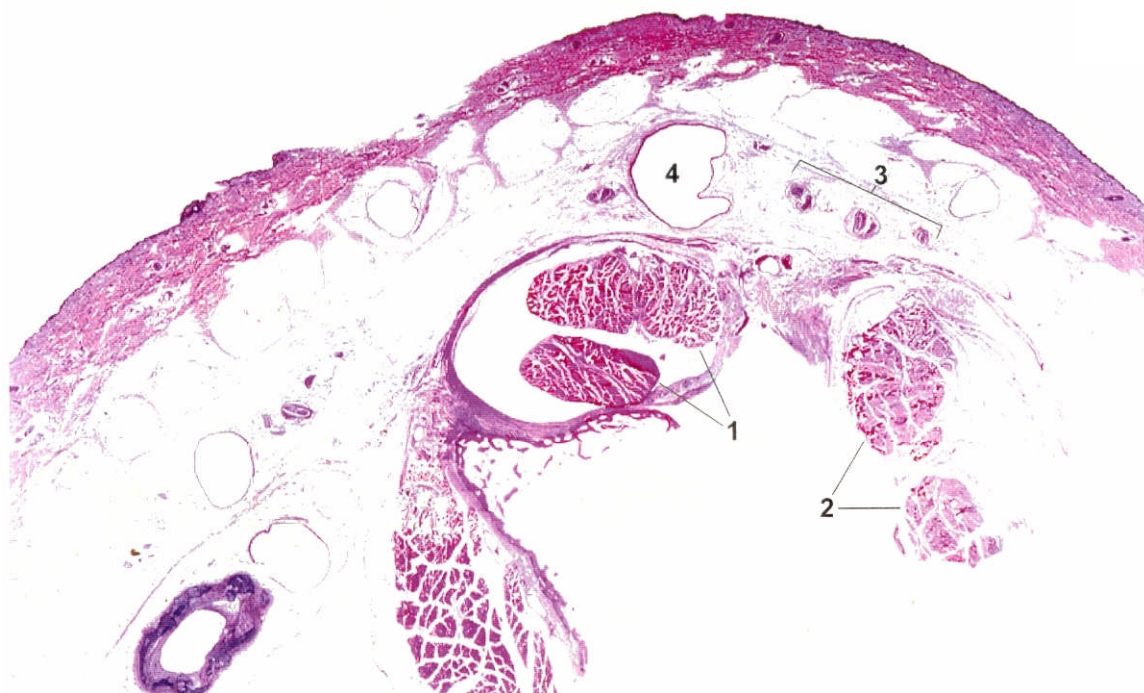


FIGURA 27 - Corte histológico transversal da região posterolateral da extremidade distal do antebraço direito, ao nível do tubérculo dorsal do rádio: 1. conjunto de tendões dos músculos abdutor longo e extensor curto do polegar; 2. conjunto de tendões dos músculos extensores radiais do carpo; 3. ramo superficial do nervo radial (ramo nervoso de maior espessura); 4. veia cefálica. HE.

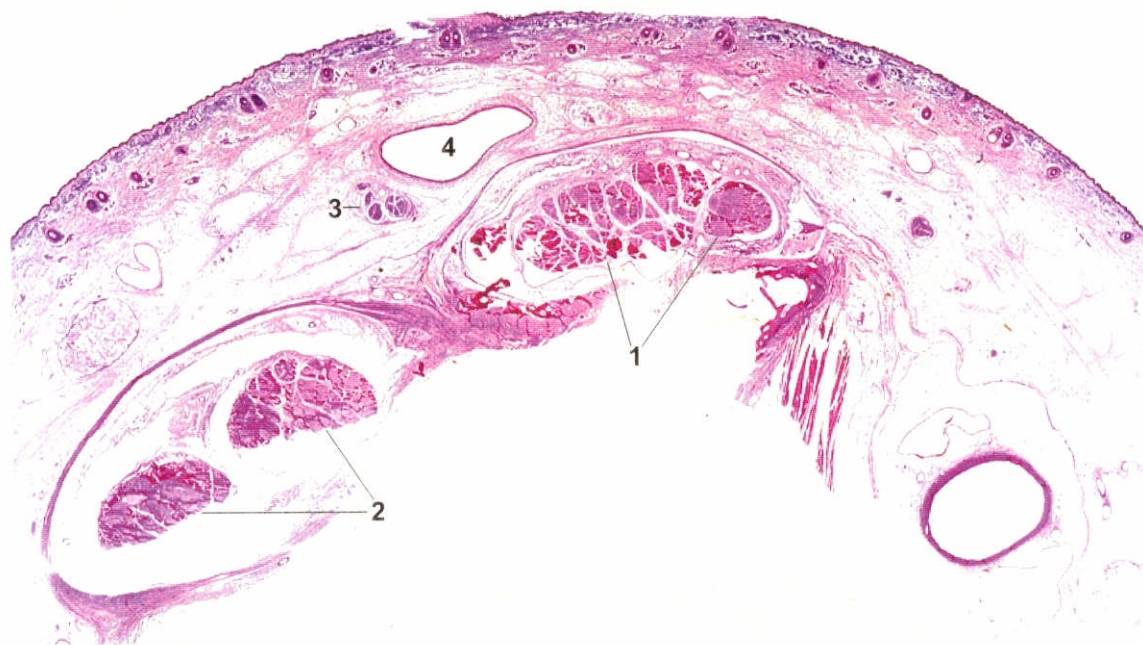


FIGURA 28 - Corte histológico transversal da região posterolateral da extremidade distal do antebraço esquerdo, ao nível do tubérculo dorsal do rádio: 1. conjunto de tendões dos músculos abdutor longo e extensor curto do polegar; 2. conjunto de tendões dos músculos extensores radiais do carpo; 3. ramo superficial do nervo radial (ramo nervoso de maior espessura); 4. veia cefálica. HE.

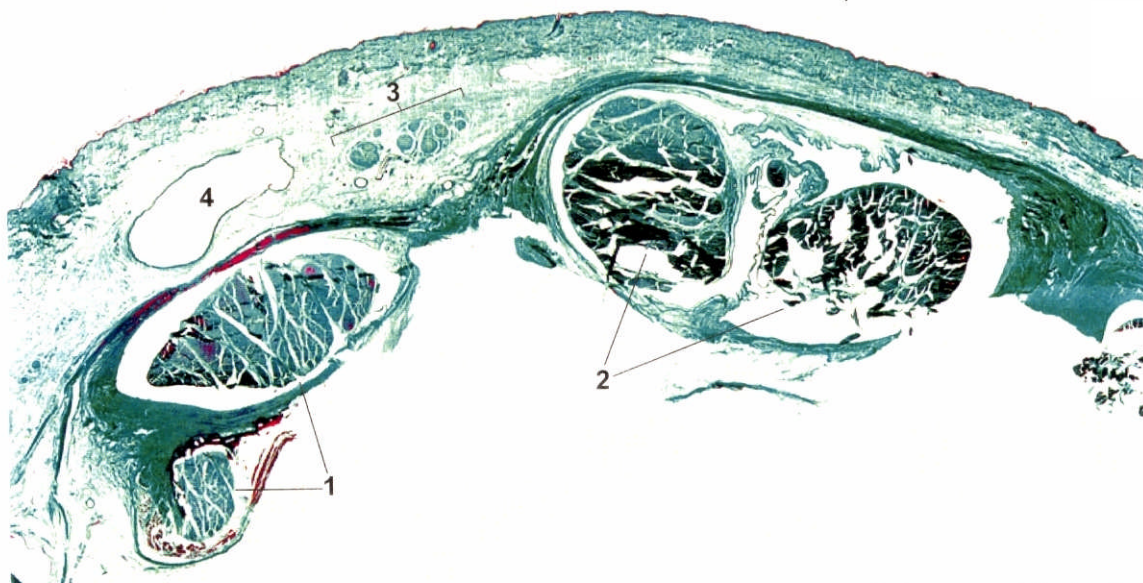


FIGURA 29 - Corte histológico transversal da região posterolateral da extremidade distal do antebraço direito, ao nível do tubérculo dorsal do rádio: 1. conjunto de tendões dos músculos abductor longo e extensor curto do polegar; 2. conjunto de tendões dos músculos extensores radiais do carpo; 3. ramo superficial do nervo radial (ramo nervoso de maior espessura); 4. veia cefálica. Tricrômico de Masson.

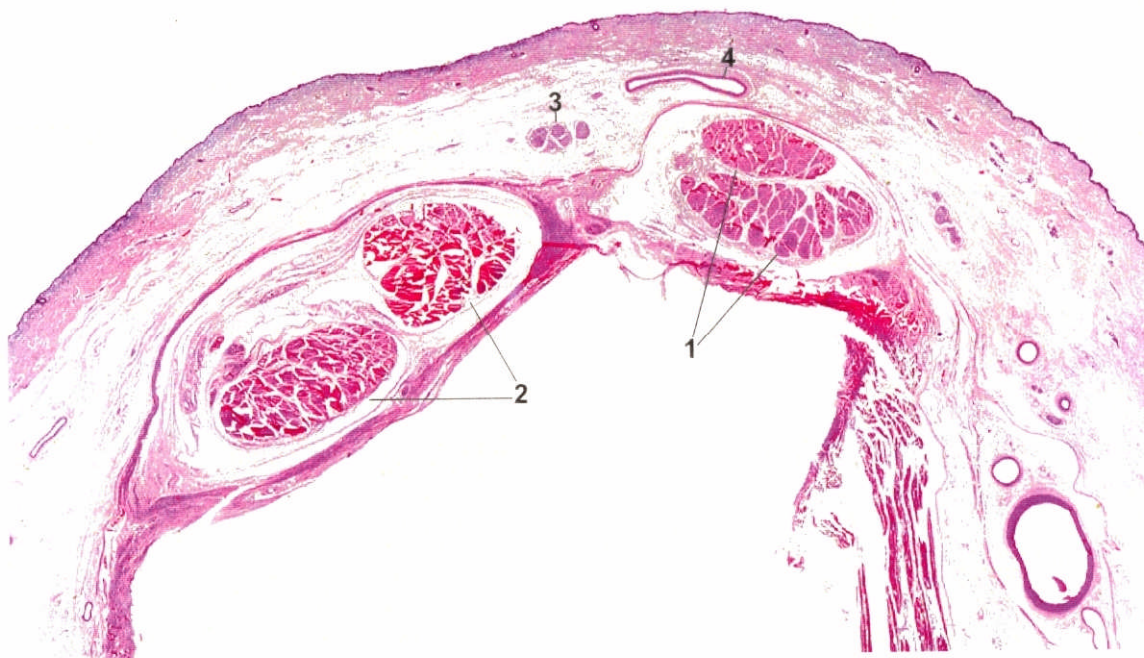


FIGURA 30 - Corte histológico transversal da região posterolateral da extremidade distal do antebraço esquerdo, ao nível do tubérculo dorsal do rádio: 1. conjunto de tendões dos músculos abductor longo e extensor curto do polegar; 2. conjunto de tendões dos músculos extensores radiais do carpo; 3. ramo superficial do nervo radial (ramo nervoso de maior espessura); 4. veia cefálica. HE.